

Плазмоны в полосе с анизотропным двумерным электронным газом, сильно экранированным металлическим затвором¹⁾

Д. А. Родионов²⁾, И. В. Загороднев⁺

⁺Институт радиотехники и электроники им. В. А. Котельникова РАН, 125009 Москва, Россия

*Московский физико-технический институт (национальный исследовательский университет), 141701 Долгопрудный, Россия

Поступила в редакцию 17 апреля 2023 г.

После переработки 5 июня 2023 г.

Принята к публикации 5 июня 2023 г.

В последнее время растет интерес к анизотропным двумерным электронным системам и к плазменным колебаниям в них. В работе теоретически проанализированы плазмоны в полосе с двумерным электронным газом, поверхность Ферми которого является эллипсом, и с близко расположенным металлическим затвором, который экранирует поля двумерного газа. В пределе сильной экранировки задача о собственных плазменных модах такой системы решена аналитически, и найдены частоты и затухание плазменных мод с учетом анизотропии, магнитного поля и эффектов электромагнитного запаздывания. Показано, что в таком пределе фундаментальной модой является краевой магнитоплазмон с линейным законом дисперсии, причем его частота, затухание и скорость не зависят от магнитного поля, а длина локализации вблизи края обратно пропорциональна магнитному полю. Квадрат частоты остальных мод складывается из квадрата частоты плазменных мод без магнитного поля и квадрата циклотронной частоты с коэффициентом, который не зависит от ориентации тензора проводимости по отношению к краям полосы, но при учете эффектов электромагнитного запаздывания зависит от главных компонент тензора эффективной массы.

DOI: 10.31857/S1234567823140045, EDN: gyvjmss

Плазмоны – коллективные колебания электронов – в двумерных (2D) электронных системах (ЭС) изучаются с середины прошлого столетия [1]. Они, как правило, определяют резонансный отклик электронной системы на внешнее электрическое поле в достаточно чистых образцах и поэтому представляют интерес не только для фундаментальной физики, но также и для приложений в области детектирования и генерации электромагнитного излучения, в том числе в терагерцовой и субтерагерцовой области частот [2–5]. В 2D ЭС их частоту и другие характеристики можно контролировать внешним магнитным полем, перпендикулярным к плоскости системы, а также с помощью металлического электрода (затвора). Кроме того, в последнее время активно обсуждается дополнительная возможность управления направлением распространения плазмонов в 2D ЭС с анизотропией проводимости [6–14]. Среди таких систем стоит выделить квантовые ямы на основе напряженного AlAs, которые, с одной стороны, обладают высокой подвижностью при низких (“гелиевых”) темпера-

турах, а с другой стороны, анизотропия в них очень чувствительна к деформации квантовой ямы [15–19].

Поверхностью Ферми электронов в объемном кристалле AlAs являются три одинаковых эллипсоида, продольная и поперечная массы которых $1.1m_0$ и $0.2m_0$, где m_0 – масса свободного электрона. При определенных толщинах и направлениях роста квантовых ям, например в направлении [001], электронами заполняются только две одинаковые долины в плоскости ямы [15]. При этом небольшое растяжение/сжатие квантовой ямы в плоскости ямы приводит к существенному различию в заполнении этих долин и относительно легко реализуется ситуация, когда заполнена лишь одна из долин. В этом случае поверхность Ферми является эллипсом. Именно такая ситуация будет предполагаться ниже.

Плазменные колебания в анизотропных системах в теории в силу сложности, как правило, анализируются для неограниченной системы. Однако, на практике плазменные колебания возбуждают в неоднородных образцах, например, в латерально ограниченных (полоски, диски), в которых теория плазменных колебаний резко усложняется даже при простейшем описании 2D ЭС с помощью локального закона Ома и проводимости Друде. При этом свой-

¹⁾См. дополнительный материал к данной статье на сайте нашего журнала www.jetletters.ac.ru

²⁾e-mail: rodionov.da@phystech.edu

ства системы с краем могут существенно отличаться от неограниченной системы. Так, вблизи края существуют краевые плазменные возбуждения [20–22], частота которых обычно ниже других (“объемных”) мод. Край играет важную роль при поглощении и излучении электромагнитных волн [23]. В данной работе будут проанализированы собственные плазменные колебания в 2D ЭС в полосе, сильно экранированной затвором, и найдены аналитические выражения для их частоты и затухания.

Пусть в вакууме в плоскости $z = 0$ располагается полоса 2D электронного газа шириной W . Направим ось y вдоль полосы, а ось x поперек, см. рис. 1. На

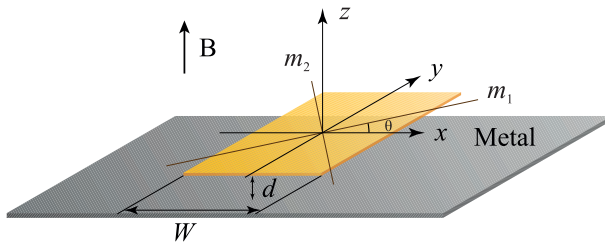


Рис. 1. (Цветной онлайн) Схематичное изображение исследуемой системы. Полоса шириной W с двумерным электронным газом располагается на расстоянии d над металлической пластиной. Система помещена в постоянное однородное магнитное поле, вектор индукции B которого направлен перпендикулярно полосе. Тензор эффективных масс с главными осями m_1 и m_2 повернут на произвольный угол θ по отношению к краям полосы

расстоянии d от полосы в плоскости $z = -d$ находится бесконечная идеально проводящая металлическая пластина (проводимость которой сколь угодно велика). Вдоль оси z направлено внешнее однородное магнитное поле с величиной индукции B . Диагональные компоненты тензора эффективных масс в главных осях равны m_1 и m_2 . Динамическую проводимость 2D ЭС выберем в анизотропной модели Друде [24]. Время столкновительной релаксации носителей τ для простоты будем считать не зависящим от энергии и направления. Пусть θ – угол между осью x и главной осью тензора эффективных масс с компонентой m_1 . При произвольной ориентации осей тензора эффективных масс проводимость в системе единиц СГС в выбранных декартовых координатах имеет следующий вид:

$$\sigma = S^T \begin{pmatrix} (\gamma - i\omega) \frac{n_s e^2}{m_1} & -\omega_c \frac{n_s e^2}{\sqrt{m_1 m_2}} \\ \frac{(\gamma - i\omega)^2 + \omega_c^2}{m_1} & (\gamma - i\omega)^2 + \omega_c^2 \\ \omega_c \frac{n_s e^2}{\sqrt{m_1 m_2}} & \frac{(\gamma - i\omega) n_s e^2}{(m_1)^2 + \omega_c^2} \end{pmatrix} S, \quad (1)$$

где $\omega_c = eB/c\sqrt{m_1 m_2}$ – циклотронная частота, e , n_s – заряд и двумерная концентрация электронов, $\gamma = 1/\tau$ – обратное время релаксации электронов, а матрица поворота S на угол θ имеет стандартный вид:

$$S = \begin{pmatrix} \cos \theta & -\sin \theta \\ \sin \theta & \cos \theta \end{pmatrix}.$$

Для описания плазменных колебаний с учетом эффектов электромагнитного запаздывания нужно решать полную систему уравнений Максвелла с локальным законом Ома и проводимостью (1). В силу симметрии системы электромагнитное поле, плотность тока и возмущение плотности заряда искались пропорциональными $e^{iq_y y - i\omega t}$ с комплексной частотой ω и действительным волновым вектором q_y вдоль полосы. Действительная часть ω описывает частоту плазменных колебаний, а мнимая – их затухание. Систему уравнений Максвелла можно свести к одному интегро-дифференциальному уравнению на плотность тока $j(x)$ с довольно сложным ядром логарифмического типа, подобно тому как это делается в случае отсутствия затвора [25]. Подробный вывод представлен в дополнительных материалах.

Будем считать, что расстояние до затвора d много меньше всех характерных размеров, таких как ширина полосы и длина волны плазмона. Такая ситуация часто встречается в реальных системах [4, 26, 27]. В этом пределе ядро интегро-дифференциального уравнения значительно упрощается и превращается в дельта-функцию Дирака [28–30]. Такой предел фактически соответствует локальному взаимодействию электронов: из-за близости полосы 2D ЭС к затвору электроны в системе взаимодействуют только со своими зарядами изображения в металле. В результате уравнение для тока становится исключительно дифференциальным:

$$j(x) = i \frac{4\pi d\sigma}{\omega} \begin{pmatrix} \frac{\partial^2}{\partial x^2} + \frac{\omega^2}{c^2} & iq_y \frac{\partial}{\partial x} \\ iq_y \frac{\partial}{\partial x} & -q_y^2 + \frac{\omega^2}{c^2} \end{pmatrix} j(x). \quad (2)$$

Это уравнение для фурье компонент было также получено в работе [31]. Решая это дифференциальное уравнение, найдем дисперсионное уравнение для собственных плазменных колебаний и соответствующее распределение плотности тока. Полученные моды, помимо волнового вектора q_y , характеризуются еще целым числом n длин полуволн, укладывающихся на ширине полосы.

Прежде чем перейти к анализу результатов отметим, что в рассматриваемом пределе локального

взаимодействия у всех плазменных мод отсутствуют радиационные потери. Физически это связано с тем, что даже для мод, дисперсия которых проходит выше дисперсии света, при малых расстояниях d излучение 2D ЭС подавляется излучением, отраженным от металла [32]. Поэтому плазменное затухание в рассматриваемом нами случае определяется столкновительными потерями, т.е. ($\text{Im } \omega_n(q_y) \sim \gamma$), и в “чистом” пределе ($\gamma \rightarrow 0$) частота плазмона действительна.

Рассмотрим отдельно фундаментальную моду с $n = 0$, которая качественно отличается от остальных, потому что описывает краевой магнитоплазмон, ток которого локализован вблизи одного из краев и направлен строго вдоль полосы, т.е. $j_x(x) = 0$. Дисперсионное уравнение этой моды дается выражением (см. дополнительные материалы):

$$\rho_{yy} + i \frac{4\pi d}{\omega} \left(q_y^2 - \frac{\omega^2}{c^2} \right) = 0, \quad (3)$$

где ρ_{yy} – диагональная компонента тензора удельного сопротивления, которая в рассматриваемой модели проводимости не зависит от магнитного поля:

$$\rho_{yy} = (\sigma^{-1})_{yy} = \frac{m_1 \cos^2 \theta + m_2 \sin^2 \theta}{n_s e^2} (\gamma - i\omega).$$

Так как в дисперсионное уравнение (3) магнитное поле также не входит, то и частота магнитоплазмона не будет зависеть от магнитного поля. Магнитодисперсия может появится в случае, если диагональная компонента тензора удельного сопротивления по каким-то причинам будет зависеть от магнитного поля. Кроме того, в следующем порядке малости по расстоянию d следует ожидать (слабой) отрицательной магнитодисперсии, как, например, это происходит у краевых магнитоплазмонов в полу平面ости в изотропном случае [29].

Из дисперсионного уравнения (3) получаем частоту краевого магнитоплазмона:

$$\omega_0(q_y, \theta) = \sqrt{v(\theta)^2 q_y^2 - \frac{\gamma^2}{4} \left(1 - \frac{v(\theta)^2}{c^2} \right)^2} - i \frac{\gamma}{2} \left(1 - \frac{v(\theta)^2}{c^2} \right), \quad (4)$$

где введены параметры

$$v_i^2 = c^2 \left(\frac{m_i c^2}{4\pi n_s e^2 d} + 1 \right)^{-1}, \quad i = 1, 2$$

и $v(\theta)^2 = v_1^2 v_2^2 / (v_1^2 \cos^2 \theta + v_2^2 \sin^2 \theta)$. Введенные таким образом величины v_i и $v(\theta)$ имеют размерность

скорости, причем их значения не превышают скорость света в вакууме. Отношение скоростей $v_{1,2}$ к скорости света c можно интерпретировать как степень влияния эффектов электромагнитного запаздывания: в квазистатическом пределе оно много меньше единицы, а при сильном запаздывании – близко к единице.

В сильных магнитных полях ток и плотность заряда прижимаются к одному из краев полосы (в зависимости от направления магнитного поля), при этом длина локализации l в чистом пределе определяется следующим выражением:

$$l = \frac{v_1 v_2}{\sqrt{1 - \frac{v_1^2}{c^2}} \sqrt{1 - \frac{v_2^2}{c^2}} v(\theta) \omega_c}. \quad (5)$$

Видно, что с увеличением электромагнитного запаздывания, т.е. с увеличением отношения $v_{1,2}/c$, длина локализации увеличивается. В силу рассматриваемого предела локального взаимодействия, подразумевающего малость расстояния d по сравнению с другими характерными размерами в системе, следует ожидать, что полученное выражение (5) справедливо при условии $l \gg d$.

Выражение для затухания краевого магнитоплазмона при условии $\text{Re } \omega_n(q_y, \theta) \gg |\text{Im } \omega_n(q_y, \theta)|$ в соответствии с (3) имеет простой вид $\text{Im } \omega_0(q_y, \theta) = -\gamma (1 - v(\theta)^2/c^2)/2$. Затухание уменьшается с увеличением роли электромагнитного запаздывания, так как потери энергии происходят только за счет столкновительного рассеяния электронов в 2D ЭС, но все большее энергии запасается в бездисипативных электромагнитных полях, окружающих 2D ЭС.

Обсудим теперь остальные моды с числами $n = 1, 2, 3, \dots$, которые мы условно называем объемными. Для высокодобротных плазменных колебаний можно получить следующие выражения для частоты

$$(\text{Re } \omega_n(q_y, \theta))^2 = q_y^2 v(\theta)^2 + \left(\frac{n\pi}{W} \right)^2 \frac{v_1^2 v_2^2}{v(\theta)^2} + \omega_c^2 \left(1 - \frac{v_1^2}{c^2} \right) \left(1 - \frac{v_2^2}{c^2} \right), \quad (6)$$

и затухания

$$\begin{aligned} \text{Im } \omega_n(q_y, \theta) = & -\frac{\gamma}{2} \left[2 - \frac{v_1^2 + v_2^2}{c^2} - \right. \\ & - \frac{q_y^2 v(\theta)^2 \left(1 + \frac{v(\theta)^2 - v_1^2 - v_2^2}{c^2} \right)}{(\text{Re } \omega_n(q_y, \theta))^2} - \\ & \left. - \frac{\left(\frac{n\pi}{W} \right)^2 \frac{v_1^2 v_2^2}{v(\theta)^2} \left(1 - \frac{v(\theta)^2}{c^2} \right)}{(\text{Re } \omega_n(q_y, \theta))^2} \right]. \end{aligned} \quad (7)$$

Из равенства (6) можно видеть, что квадрат частоты этих мод определяется суммой трех вкладов. Первые два связаны с поперечными и продольными колебаниями плазмона в полосе соответственно, а последний с наличием магнитного поля. Обратим внимание на то, что при наличии анизотропии квантование поперечной компоненты волнового вектора существенно отличается от изотропного случая, подробнее см. дополнительные материалы. В коротковолновом пределе, т.е. когда слагаемое с продольной компонентой волнового вектора q_y вносит основной вклад в частоту, плазменная дисперсия (6) становится линейной по волновому вектору, а фазовая и групповая скорости плазмона сравниваются, принимая значение $v(\theta)$. Что касается магнитного вклада в частоту, в изотропных 2D ЭС учет электромагнитного запаздывания приводит к уменьшению частоты циклотронного резонанса [33, 26]. Этот же результат сохраняется и в анизотропной системе, причем это уменьшение не зависит от угла ориентации тензора эффективных масс θ .

Теперь обсудим затухание объемных мод. В изотропной системе ($v_1 = v_2 \equiv v$) затухание в отсутствие магнитного поля не зависит ни от номера моды n , ни от продольного волнового вектора q_y и определяется как $\text{Im} \omega_n(\omega_c = 0) = -\gamma(1 - v^2/c^2)/2$. В сильных магнитных полях оно удваивается, т.е. $\text{Im} \omega_n(\omega_c \rightarrow \infty) = 2 \text{Im} \omega_n(\omega_c = 0)$. В анизотропной системе мнимая часть частоты в сильном магнитном поле имеет схожий с изотропным случаем вид

$$\text{Im} \omega_n(\omega_c \rightarrow \infty) = -\gamma \left(1 - \frac{v_1^2 + v_2^2}{2c^2} \right). \quad (8)$$

Как можно видеть, затухание магнитоплазмонов вовсе не зависит от угла θ . Обратим внимание на поведение добротности плазменных колебаний $\text{Re} \omega_n(q_y, \theta) / |\text{Im} \omega_n(q_y, \theta)|$ в сильных магнитных полях. В изотропной системе добротность стремится к значению ω_c/γ , не зависящему от величины электромагнитного запаздывания, в то время как анизотропная система “чувствует” усиление роли эффектов электромагнитного запаздывания, и добротность плазменных колебаний в ней уменьшается.

На рисунке 2 для примера представлен график зависимости частоты двух нижайших плазменных мод в квантовой яме на основе напряженного AlAs от волнового вектора q_y в отсутствие магнитного поля для углов ориентации $\theta = 0$ и $\pi/2$. На рисунке 3. изображена магнитодисперсия для этой же системы. Видно, что магнитодисперсия краевой моды плоская, а частота объемных мод стремится к циклотронному резонансу, уменьшенному за счет эффектов электро-

магнитного запаздывания. Между краевым магнитоплазмоном и первой объемной модой существует щель, как и в изотропном случае, однако, при наличии анизотропии ее величина дополнительно зависит от угла ориентации θ .

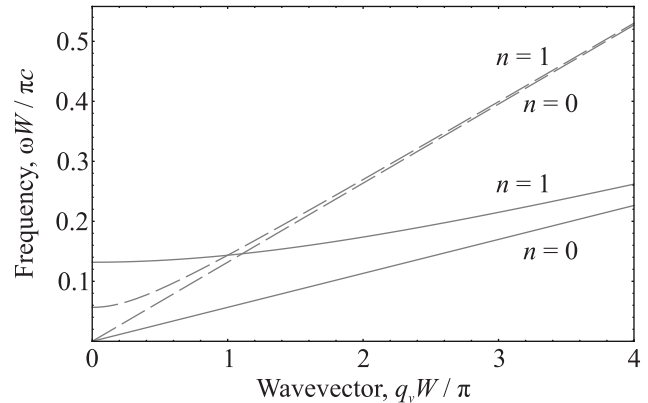


Рис. 2. Зависимость действительной части частоты плазменных мод от волнового вектора q_y вдоль полосы в отсутствие магнитного поля. Сплошные линии соответствуют углу ориентации $\theta = 0$, а пунктирные – $\theta = \pi/2$. Плазменная мода $n = 0$ лежит ниже моды $n = 1$. Концентрация электронов $n_s = 5 \times 10^{12} \text{ см}^{-2}$, расстояние до затвора $d = 0.02W$. Массы $m_1 = 0.2m_0$ и $m_2 = 1.1m_0$, где m_0 – масса свободного электрона

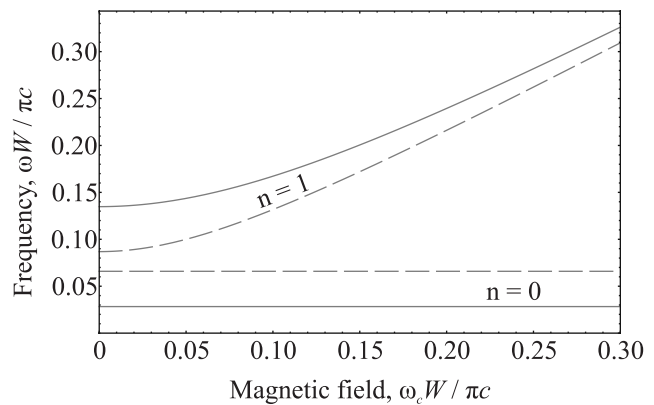


Рис. 3. Зависимость действительной части частоты плазменных мод с числами $n = 0$ и $n = 1$ от магнитного поля. Сплошные линии соответствуют углу ориентации $\theta = 0$, а пунктирные – $\theta = \pi/2$. Концентрация электронов $n_s = 5 \times 10^{12} \text{ см}^{-2}$, расстояние до затвора $d = 0.02W$, волновой вектор $q_y = 0.01 \times 2\pi/d$. Массы $m_1 = 0.2m_0$ и $m_2 = 1.1m_0$, где m_0 – масса свободного электрона

Таким образом, в работе рассмотрены свойства двумерных плазменных колебаний в 2D электронной системе сильно экранированной металлическим затвором, т.е. в пределе локального взаимодействия,

который позволяет существенно упростить анализ латерально ограниченных систем. На примере полосы с анизотропной проводимостью проанализированы плазменные моды, в том числе и краевые, с учетом внешнего магнитного поля и эффектов электромагнитного запаздывания. Найдено аналитическое выражение для частот и затуханий всех плазменных мод. Показано, что фундаментальной модой в такой системе является краевой магнитоплазмон, частота и затухание которого не зависят от магнитного поля, а длина его локализации обратно пропорциональна магнитному полю. Кроме того, интересной особенностью остальных мод является то, что в сильных магнитных полях их частоты и затухания не зависят от угла ориентации.

Работа выполнена в рамках государственного задания ИРЭ им. В. А. Котельникова РАН при поддержке Фонда развития теоретической физики и математики “Базис” (грант # 21-1-5-133-1).

Авторы выражают благодарность В. А. Волкову и А. А. Заболотных за ценные обсуждения.

1. F. Stern, Phys. Rev. Lett. **18**, 546 (1967).
2. W. Knap, Y. Deng, S. Rumyantsev, and M. S. Shur, Appl. Phys. Lett. **81**, 4637 (2002).
3. V. M. Muravev and I. V. Kukushkin, Appl. Phys. Lett. **100**, 082102 (2012).
4. D. A. Bandurin, D. Svintsov, I. Gayduchenko et al. (Collaboration), Nat. Commun. **9**, 5392 (2018).
5. I. V. Zagorodnev, A. A. Zabolotnykh, D. A. Rodionov, and V. A. Volkov, Nanomaterials **13**, 975 (2023).
6. Ch. Wang, G. Zhang, Sh. Huang, Y. Xie, and H. Yan, Adv. Opt. Mater. **8**, 1900996 (2020).
7. S. Ahn and S. Das Sarma, Phys. Rev. B **103**, L041303 (2021).
8. F. Xia, H. Wang, D. Xiao, M. Dubey, and A. Ramasubramaniam, Nature Photon. **8**, 899 (2014).
9. T. Low, A. Chaves, J.D. Caldwell, A. Kumar, N.X. Fang, P. Avouris, T.F. Heinz, F. Guinea, L. Martin-Moreno, and F. Koppens, Nature Mater. **16**, 182 (2017).
10. D. N. Basov, M. M. Fogler, and F. J. García de Abajo, Science **354**, aag1992 (2016).
11. A. Agarwal, M. S. Vitiello, L. Viti, A. Cupolillo, and A. Politano, Nanoscale **10**, 8938 (2018).
12. A. A. Sokolik, O. V. Kotov, and Y. E. Lozovik, Phys. Rev. B **103**, 155402 (2021).
13. T. Low, R. Roldán, H. Wang, F. Xia, P. Avouris, L. Martín Moreno, and F. Guinea, Phys. Rev. Lett. **113**, 106802 (2014).
14. A. Nemilentsau, T. Low, and G. Hanson, Phys. Rev. Lett. **116**, 066804 (2016).
15. M. Shayegan, E.P. De Poortere, O. Gunawan, Y. P. Shkolnikov, E. Tutuc, and K. Vakili, Phys. Status Solidi B **243**, 3629 (2006).
16. Md. Shafayat Hossain, M.K. Ma, Y.J. Chung, S.K. Singh, A. Gupta, K.W. West, K.W. Baldwin, L.N. Pfeiffer, R. Winkler, and M. Shayegan, Phys. Rev. Lett. **130**, 126301 (2023).
17. V. M. Muravev, A.R. Khisameeva, V.N. Belyanin, I.V. Kukushkin, L. Tiemann, C. Reichl, W. Dietsche, and W. Wegscheider, Phys. Rev. B **92**, 041303(R) (2015).
18. A.R. Khisameeva, A.V. Shchepetilnikov, V.M. Muravev, S.I. Gubarev, D.D. Frolov, Yu.A. Nefyodov, I.V. Kukushkin, C. Reichl, L. Tiemann, W. Dietsche, and W. Wegscheider, Phys. Rev. B **97**, 115308 (2018).
19. A.R. Khisameeva, V.M. Muravev, and I.V. Kukushkin, Appl. Phys. Lett. **117**, 093102 (2020).
20. D.B. Mast, A.J. Dahm, and A.L. Fetter, Phys. Rev. Lett. **54**, 1706 (1985).
21. В. А. Волков, С. А. Михайлов, Письма в ЖЭТФ **42**, 450 (1985).
22. А. А. Заболотных, В. А. Волков, Письма в ЖЭТФ **104**, 424 (2016).
23. Е. Никulin, Д. Мильников, Д. Бандурин, и Д. Свентсов, Phys. Rev. B **103**, 085306 (2021).
24. B. Lax, H. J. Zeiger, and R. N. Dexter, Physica **20**, 818 (1954).
25. S. A. Mikhailov and N. A. Savostianova, Phys. Rev. B **71**, 035320 (2005).
26. Н. Д. Семенов, В. М. Муравьев, И. В. Андреев, И. В. Кукушкин, Письма в ЖЭТФ **114**, 669 (2021).
27. V. M. Muravev, C. Jiang, I. V. Kukushkin, J. H. Smet, V. Umansky, and K. von Klitzing, Phys. Rev. B **75**, 193307 (2007).
28. А. Б. Чаплик, ЖЭТФ **62**, 746 (1972).
29. V. A. Volkov and S. A. Mikhailov, ZhETF **94**, 217 (1988).
30. А. Б. Чаплик, Письма в ЖЭТФ **101**, 602 (2015).
31. D. Jin, L. Lu, Z. Wang, C. Fang, J. D. Joannopoulos, M. Soljačić, L. Fu, and N. X. Fang, Nat. Commun. **7**, 13486 (2016).
32. D. A. Rodionov and I. V. Zagorodnev, Phys. Rev. B **106**, 235431 (2022).
33. A. A. Zabolotnykh and V. A. Volkov, Phys. Rev. B **103**, 125301 (2021).